

## КАТАЛИТИЧЕСКАЯ АКТИВНОСТЬ ЗОЛОТЫХ НАНОСТЕРЖНЕЙ ПРИ ОБЛУЧЕНИИ НА ЧАСТОТЕ ПЛАЗМОННОГО РЕЗОНАНСА

Долинский Г.А.

Институт экспериментальной патологии, онкологии и радиобиологии  
имени Р.Е.Кавецкого НАН Украины, лаборатория квантовой нанобиологии,  
03022 Украина, г. Киев, ул. Васильковская, 45,  
тел.: +38(044) 258-16-58

*Методами флуоресцентной спектроскопии и люминол-зависимой хемилюминесценции изучены процессы перекисного окисления в суспензии фосфолипидов, инициируемые внесением золотых наностержней и облучением полупроводниковым лазером на частоте плазмонного резонанса ( $\lambda=658$  нм). Показана дозозависимость продукции синглетного кислорода при облучении раствора с наностержнями. Сделан вывод о возможности создания на основе таких наноструктур высокоэффективных фотосенсибилизаторов для фотодинамической терапии опухолей.*

**Ключевые слова:** золотые наностержни, перекисное окисление фосфолипидов, плазмонный резонанс, синглетный кислород, фотодинамическая терапия опухолей.

### Введение и постановка задачи

Золи благородных металлов, особенно золота и серебра, обладают уникальными оптическими характеристиками, важнейшая из которых – поверхностный плазмонный резонанс в широком диапазоне частот возбуждающего излучения [9, 14]. Кроме того, они отличаются хорошей биосовместимостью и селективностью по отношению к биосубстратам в сочетании с высокой электропроводностью и адсорбционной способностью, что позволяет осуществлять целенаправленную функционализацию поверхности биосубстрата [6, 11].

Нелинейно-оптические свойства золотых наночастиц, связанные с явлениями плазмонного резонанса и комбинационного рассеивания, обусловили их широкое применение в биосенсорных системах [15], а достижения последних лет открывают перспективы разработки на этой основе средств внутриклеточной молекулярной диагностики и терапии [17, 23]. Локальное выделение энергии резонансных процессов позволяет визуализировать субклеточные структуры с разрешающей способностью вплоть до отдельных макромолекул и воздействовать на них с одновременным контролем избирательности и эффективности [5]. Обладая развитой активной поверхностью (значительно большим отношением площади поверхности к объему, чем массивные материалы), все наноразмерные структуры в той или

иной мере проявляют высокую адсорбционную и катализическую активность [18]. Наноструктурированное золото адсорбирует свободные радикалы и катализирует образование активных форм кислорода [8]. Показана высокая каталитическая активность наночастиц золота в окислительно-восстановительных процессах с участием растворенного кислорода и пероксидов, обусловленная активацией молекул кислорода на поверхности раздела твердой и жидкой фаз [16].

Особый интерес вызывают опосредованные нанокластерами процессы конверсии поглощенной энергии излучения, которые могут быть использованы для визуализации и разрушения опухолевых клеток [22]. Учитывая возможность передачи энергии плазмонов на адсорбированные на поверхности наночастиц молекулы с переходом их в возбужденное состояние, предполагается разработка наноструктурных фотосенсибилизаторов, значительно более продуктивных и специфичных, чем существующие [4].

Среди наноматериалов с выраженным плазмонно-резонансным характером представляются золотые наностержни (НС), которым присущ эффект усиленного селективного проникновения и накопления в опухолевой ткани, а также «подстройка» резонансной частоты в пределах дальнего красного – ближнего инфракрасного диапазона [10]. Кроме того, с увеличением отношения продоль-

ных размеров к диаметру (aspect ratio) усиливается молекулярная анизотропия наноструктур и возрастает каталитическая активность на их торцевых поверхностях [3].

**Целью** настоящей работы было изучение окислительных процессов с участием активных форм кислорода, образующихся при внесении золотых НС в суспензию фосфолипидов (ФЛ) и ее лазерном облучении на частоте плазмонного резонанса.

### Материалы и методы

В экспериментах использованы золотые НС диаметром  $25,0 \pm 2,5$  нм и длиной  $62,0 \pm 6,0$  нм (водная дисперсия с исходной концентрацией 150 ppm, Sigma-Aldrich, USA), с пиком поверхностного (продольного) плазмонного резонанса в области длины волны 656 (625–675) нм и локального (поперечного) плазмонного резонанса – в области 519 (505–555) нм, которые вносили в суспензию, приготовленную из лецитина (Биолек, Украина) на буфере трис-HCl, pH=7,4. Образование активных форм кислорода выявляли по вспышке хемилюминесценции после инъекции НС (конечная концентрация 0,6 мкг/мл) в инкубационную среду, содержащую 0,4 мг/мл ФЛ, с добавлением 0,04% тритона X-100 и 0,5 мкМ кумарина C-334 (Sigma-Aldrich, USA) – физического усилителя квантового выхода реакции рекомбинации липопероксильных радикалов [21].

Для оценки фотосенсибилизирующего действия НС по 2 мкл их исходной дисперсии вносили в лунки 96-луночного планшета с 200 мкл суспензии с содержанием ФЛ 2,0 мг/мл и облучали красным светом полупроводникового лазера (Фотоника Плюс, Украина) с длиной волны  $\lambda=658$  нм в дозе 10 Дж/см<sup>2</sup> при плотности мощности 10 мВт/см<sup>2</sup>, регистрируемой на уровне поверхности жидкости при помощи измерителя мощности/энергии лазерного излучения Ophir NOVA II (Ophir Opttronics, Israel). Накопление метастабильных продуктов перекисного окисления ФЛ определяли методом люминол-зависимой хемилюминесценции [2].

Уровень продукции синглетного кислорода оценивали по интенсивности флуоресценции специфического индикатора Singlet Oxygen

Sensor Green (SOSG, Molecular Probes, USA) на флуороспектрометре ND-3300 (NanoDrop, USA),  $\lambda_{ex} = 470 \pm 10$  нм,  $\lambda_{em} = 531 \pm 20$  нм. Параллельно облучали пробы, содержащие 1,5 мкг/мл НС с 2 мкМ раствором SOSG на 50 мМ буфере трис-HCl, pH=7,4, и контрольные пробы без НС, варьируя экспозиционную дозу от 1 до 20 Дж/см<sup>2</sup>.

Хемилюминесценцию регистрировали на универсальном ридере Synergy HT (BioTek, USA) в кинетическом режиме.

Обработку данных проводили методами параметрической статистики при помощи пакета анализа Microsoft Office Excel 2003.

### Результаты и их обсуждение

В суспензии ФЛ после инъекции золотых НС наблюдалась вспышка хемилюминесценции, развивавшаяся почти немедленно и продолжавшаяся около 100 секунд (рис. 1).

По-видимому, при внесении наночастиц инициировалась цепная реакция разложения липопероксидов с образованием липопероксильных радикалов, рекомбинация которых сопровождается интенсивным свечением, подобно тому, как это происходит при каталитическом действии ионов металлов переходной валентности [1]. Образование пероксидов при инкубации золотых НС в суспензии с высоким содержанием ФЛ подтверждено также методом люминол-зависимой хемилюминесценции, причем лазерное облучение на частоте плазмонного резонанса достовер-

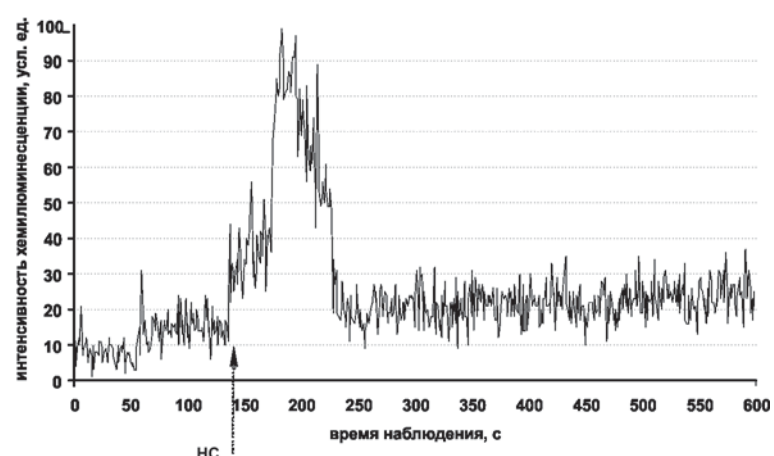


Рис. 1. Хемилюминесценция в суспензии ФЛ после внесения золотых НС (момент внесения отмечен стрелкой)

но повышало выход метастабильных продуктов перекисного окисления (рис. 2).

Обнаруженный фотодинамический эффект вполне согласуется с современными представлениями о конверсии энергии фотонов, взаимодействующих с НС, в тепловую энергию молекул,

адсорбированных на поверхности наночастиц [13]. При этом возможно как непосредственное усиление термолабильных реакций свободно-

частоте плазмонного резонанса (рис. 3).

Снижение флуоресценции SOSG в «темновой» пробе и при дозе облучения 1 Дж/см<sup>2</sup>, наблю-

давшееся после добавления НС, очевидно, было связано с поглощением на частоте их локального плазмонного резонанса (длина волны 505–555 нм) и не изменяло общей картины динамики прироста пика в полосе  $\lambda_{em} = 531 \pm 20$  нм, характерного для реакции на синглетный кислород при накоплении дозы.

В ряде работ, где исследовалась возможность применения золотых НС для разрушения опухолевых клеток, были описаны два основных механизма лечебного действия: повышение концентрации мембрально-связанного фотоп-

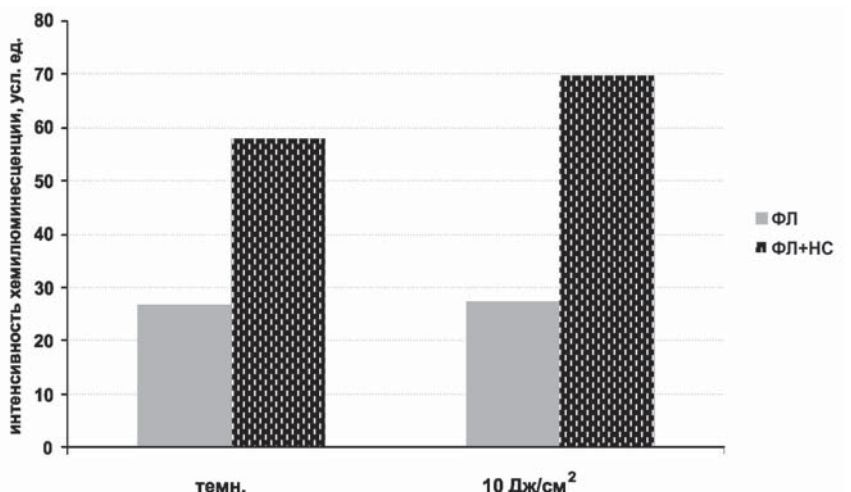


Рис. 2. Люминол-зависимая хемилюминесценция в суспензии ФЛ после инкубации с золотыми наностержнями (ФЛ + НС) без освещения (темн.) и при облучении с плотностью дозы 10 Дж/см<sup>2</sup> на частоте плазмонного резонанса

радикального окисления, так и опосредованное синглетным кислородом, образующимся при плазмонной активации триплетного состояния [20]. В пользу последнего механизма свидетельствует дозависимое увеличение интенсивно-

сensiбилизатора, доставляемого в виде комплекса с наночастицами, и фототермолиз после облучения на частоте плазмонного резонанса в ближнем инфракрасном диапазоне [12, 19]. Поскольку перекисное окисление ФЛ клеточных мембран приводит к инициации сигнальных каскадов апоптоза [7], по-видимому, следует также рассматривать цитотоксическое действие золотых НС, связанное с их непосредственной фотодинамической активностью.

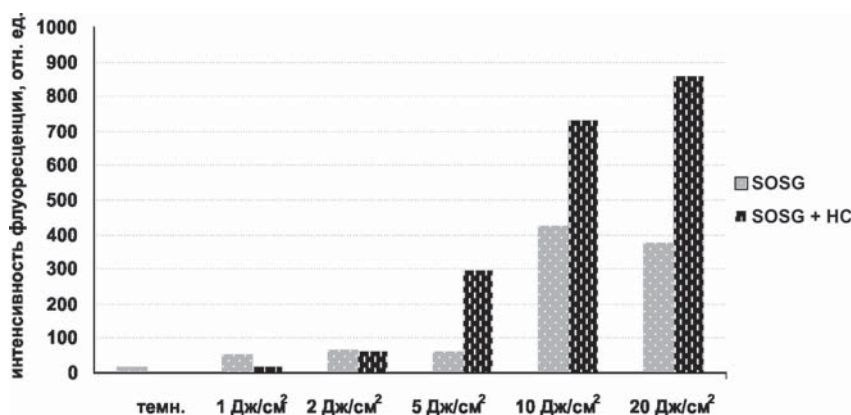


Рис. 3. Изменение интенсивности флуоресценции специфического индикатора синглетного кислорода после облучения красным светом лазера с длиной волны 658 нм: SOSG – в буферном растворе; SOSG + НС – в присутствии золотых НС

сти флуоресценции специфического индикатора синглетного кислорода SOSG в растворе, содержащем золотые НС, при лазерном облучении на

открывает перспективу создания на основе этих наноструктур высокоэффективных фотосенсибилизаторов для фотодинамической терапии опухолей.

## Выводы

Золотые НС обладают способностью инициировать процессы перекисного окисления липидов, усиливающиеся за счет образования активных форм кислорода при лазерном облучении на частоте продольного плазмонного резонанса НС, что

## Література

1. Владимиров Ю.А. Свечение, сопровождающее биохимические реакции / Ю.А.Владимиров // Соросовский образовательный журнал.- 1999.- №6.- С.25-32.
2. Долинский Г.А. Катализическая активность наноразмерных феррошинелей кобальта и меди в фосфолипидной модельной системе / Г.А.Долинский, Е.Н.Лавриненко, И.Н.Тодор и др. // Наноструктурное материаловедение.- 2010.- №1.- С.59-68.
3. Andoy N.M. Single-molecule catalysis mapping quantifies site-specific activity and uncovers radial activity gradient on single 2D nanocrystals / N.M.Andoy, X.Zhou, E.Choudhary et al. // J. Amer. Chem. Soc.- 2013.- Vol.135.- P.1845-1852.
4. Cheng S-H. Inorganic nanoparticles for enhanced photodynamic cancer therapy / S-H.Cheng, L.-W.Lo. // Current Drug Discovery Technologies.- 2011.- Vol.8.- P.269-276.
5. Coto-García A.M. Nanoparticles as fluorescent labels for optical imaging and sensing in genomics and proteomics / A.M.Coto-García, E.Sotelo-González, M.T.Fernández-Argüelles et al. // Anal. Bioanal. Chem.- 2011.- Vol.399, Iss.1.- P.29-42.
6. Daniel M.-Ch. Gold nanoparticles: assembly, supramolecular chemistry, quantum-size-related properties, and applications toward biology, catalysis, and nanotechnology / M. Ch.Daniel, D.Astruc // Chem. Rev.- 2004.- Vol.104.- P.293-346.
7. Deigner H.-P. Oxidized phospholipids: emerging lipid mediators in pathophysiology / H. P.Deigner, A.Hermetter // Curr. Opin. Lipidol.-2008.- Vol.19.- P.289-294.
8. Gong J. Surface science investigations of oxidative chemistry on gold / J.Gong, C.B.Mullins // Acc. Chem. Res.- 2009.- Vol.42, Iss.8.- P.1063-1073.
9. Haes A.J. A nanoscale optical biosensor: The short range distance dependence of the localized surface plasmon resonance of silver and gold nanoparticles / A.J.Haes, S.Zou, G.C.Schatz, R.P.Van Duyne // J. Phys. Chem. B.- 2004.- Vol.108.- P.6961-6968.
10. Huang X. Gold nanorods: from synthesis and properties to biological and biomedical applications / X.Huang, S.Neretina, M.A.El-Sayed // Adv. Mater.- 2009.- Vol.21.- P.4880-4910.
11. Ipe B. Functionalized gold nanoparticles as phosphorescent nanomaterials and sensors / B.Ipe, K.Yoosaf, K.G.Thomas // J. Amer. Chem. Soc.- 2006.- Vol.128.- P.1907-1913.
12. Jang B. Gold nanorod-photosensitizer complex for near-infrared fluorescence imaging and photodynamic/photothermal therapy in vivo / B.Jang, J.-Y.Park, C.-H.Tung et al. // ACS NANO.- 2011.- Vol.5, №2.- P.1086-1094.
13. Khlebtsov N.G. Optical properties and biomedical applications of plasmonic nanoparticles / N.G.Khlebtsov, L.A.Dykman // Journal of Quantitative Spectroscopy & Radiative Transfer.- 2010.- Vol.111.- P.1-35.
14. Khlebtsov N.G. Optical properties of colloidal-gold bioconjugates / N.G.Khlebtsov, V.A.Bogatyrev, L.A.Dykman et al. // Izv. Vuz. Applied Nonlinear Dynamics.- 2002.- Vol.10.- P.172-187.
15. Kneipp J. Novel optical nanosensors for probing and imaging live cells / J.Kneipp, H.Kneipp, B.Wittig, K.Kneipp // Nanomedicine.- 2010.- Vol.6, №2.- P.214-226.
16. Shang C. Origin and activity of gold nanoparticles as aerobic oxidation catalysts in aqueous solution / C.Shang, Z.P.Liu // J. Amer. Chem. Soc.- 2011.- Vol.133, Iss.25.- P.9938-9947.
17. Singhal S. Nanotechnology applications in surgical oncology / S.Singhal, S.Nie, M.D.Wang // Ann. Rev. Med.- 2010.- Vol.61.- P.359-373.
18. Somorjai G. A. Impact of surface chemistry / G.A.Somorjai, Y.Li // PNAS.- 2011.- Vol.108, Iss.3.- P.917-924.
19. Tong L. Gold nanorods mediate tumor cell death by compromising membrane integrity / L.Tong, Y.Zhao, T.B.Huff et al. // Adv. Mater.- 2007.- Vol.19.- P.3136-3141.
20. Vankayala R. Metal nanoparticles sensitize the formation of singlet oxygen / R.Vankayala, A.Sagadevan, P.Vijayaraghavan et al. // Angew. Chem. Int. Ed.- 2011.- Vol.50.- P.10640-10644.
21. Vladimirov Yu.A. Quinolizin-coumarins as physical enhancers of chemiluminescence during lipid peroxidation in live HL-60 cells / Yu.A.Vladimirov, A.Arroyo, J.M.Taylor et al. // Archives of Biochemistry and Biophysics.- 2000.- Vol.384, №1.- P.154-162.
22. Xia Y. Gold nanocages: From synthesis to theranostic applications / Y.Xia, W.Li, C.M.Cobley et al. // Acc. Chem. Res.- 2011.- Vol.44, №10.- P.914-924.
23. Yu L. Quantitative gold nanoparticle analysis methods: A review / L.Yu, A.Andriola // Talanta.- 2010.- Vol.82, Iss.3.- P.869-875.

## ФОТОКАТАЛІТИЧНА АКТИВНІСТЬ ЗОЛОТИХ НАНОСТРИЖНІВ ПРИ ОПРОМІНЕННІ НА ЧАСТОТІ ПЛАЗМОННОГО РЕЗОНАНСУ

Долинський Г.А.

Інститут експериментальної патології, онкології і радіобіології імені Р.С.Кавецького НАН України,  
лабораторія квантової нанобіології,  
вул. Васильківська, 45, м. Київ, 03022 Україна, тел.: +38(044) 258-16-58

Методами флуоресцентної спектроскопії і люмінол-залежної хемілюмінесценції досліджено процеси перекисного окиснення в суспензії фосфоліпідів, що ініціювалися внесенням золотих нанострижнів та опроміненням напівпровідниковим лазером на частоті плазмонного резонансу ( $\lambda=658$  нм). Показана дозозалежність продукції синглетного кисню при опроміненні розчину з нанострижнями. Зроблено вис-

новок про можливість розробки на основі таких наноструктур високоефективних фотосенсибілізаторів для фотодинамічної терапії пухлин.

**Ключові слова:** золоті нанострижні, перекисне окиснення фосфоліпідів, плазмонний резонанс, синглетний кисень, фотодинамічна терапія пухлин.

***PHOTOCATALYTIC ACTIVITY OF GOLD NANORODS  
ON PLASMON RESONANCE FREQUENCY EXPOSURE***

*Dolynskyi G.A.*

*R.E.Kavetsky Institute of Experimental Pathology, Oncology and Radiobiology, NAS of Ukraine,  
Laboratory of Quantum Nanobiology,  
45, Vasylkivska Str., Kyiv, 03022 Ukraine, tel.: +38(044) 258-16-58*

*Peroxidation processes initiated in a phospholipids suspension by gold nanorods adding and a diode laser irradiation at the plasmon resonance frequency ( $\lambda=658$  nm) were studied using fluorescence spectroscopy and lumimol-dependent chemiluminescence techniques. During the nanorods-containing solution irradiation a dose-dependent production of singlet oxygen occurred. The workability of such type nanostructures as a basis for high-efficient photosensibilizers fit to photodynamic therapy of tumors was concluded.*

**Key words:** gold nanorods, phospholipids peroxidation, plasmon resonance, singlet oxygen, photodynamic therapy of tumors.